藏东花岗岩类研究中的新发现和新见解

申屠保 > 須 王 增 (成都地质矿产研究所, 成都 610082)

关键词 加里东期花岗岩类 幔源(M)型花岗岩 斑岩体 眼球片麻状花岗岩 藏东

近年来, 成都地矿所花岗岩组对藏东地区的花岗岩类进行了较系统的研究, 取得了一些新发现, 并对一些问题有了新的认识。

1 首次确定加里东期花岗岩类的存在

江达县解放乡冬普英云闪长岩体, 侵位于下古生界波罗群变质岩系中。岩体北端被普水桥海西期黑云母花岗岩体(Rb-Sr 年龄 229 M a) 侵冲及下三叠统普水桥组沉积不整合覆盖。冬普岩体的 Rb-Sr 全岩等时线年龄为 462 M a(图 1)。根据冬普岩体的产出和同位素年龄, 确定该岩体为加里东期花岗岩, 是藏东地区最老的花岗岩。

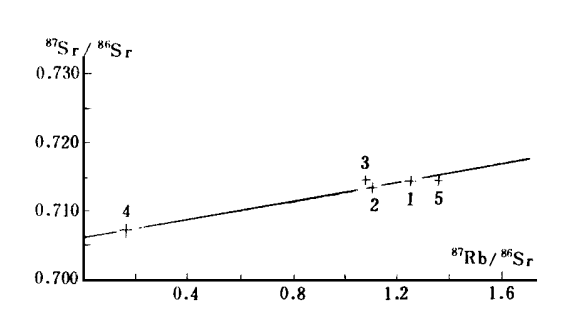


图 1 冬普岩体 Rb-Sr 等时线图 注:1~3. 英云闪长岩; 4. 石英闪长岩; 5. 花岗闪长岩 t= 462.4 ± 39.6 Ma (⁸⁷ Sr/⁸⁶ Sr);= 0.70629 ± 0.00061 r= 0.9891

岩体的主要岩石类型有英云闪长岩、花岗闪长岩、石英闪长岩。岩石结构为自形-半自形晶体。主要矿物有斜长石(45%~75%)、石英(10%~25%)、钾长石(5%~10%)、黑云母和角闪石(10%~20%),副矿物有锆石、磷灰石、榍石和褐帘石。

冬普岩体具贫硅、碱富铝、铁、镁的特点。Na/K 比值一般为 $1.22 \sim 2.05$, 平均 1.59, 与华南同熔型(1.41) 及澳大利亚(拉克朗) I 型花岗岩(1.47) 接近。根据 Pearc等(1984) 的微量元素判别图判定该岩体属火山弧构造环境。岩体 Σ REE 不高,为($82.29 \sim 122.50$) × 10^{-6} , 与花岗岩平均稀土总量(250×10^{-6} , Hermann,1970) 相比要低得多。 Σ Ce/ Σ Y 为 $1.38 \sim 4.53$, 表明

轻稀土略具富集。 δ Eu 为 0.8 ~ 0.90, 有微弱的负铕异常。Eu/Sm 波动小,(Ce/Yb) N、(La/Yb) N 和(La/Sm) N 值均较低,反映岩浆结晶过程中稀土分馏不明显,显示幔源岩浆分离结晶

时间短且快速上升侵位。由于本区加里东造山运动强烈,导致英云闪长岩体的形成。冬普岩体稀土配分模式见图 2。

2 下察隅沙马幔源型(M)花岗 岩的发现

始新世初由于冈瓦纳大陆和欧亚大陆的碰撞, 致使雅鲁藏布江洋壳俯冲于火山弧之下而消亡。其洋壳衍生物经熔融而生成幔源(M)型花岗岩, 沿缝合带北侧的拉达克、曲水、达孜、下察隅等地分布。岩石类型有石英闪长岩、英云闪长岩、斜长花岗岩; 其(87 Sr/ 86 Sr); 值为 0. 7039 ~ 0. 7060。下察隅沙马斜长花岗岩体的 143 N d/ 144 N d 为 0. 512865, ϵ N d 值为 4. 389045。

沙马斜长花岗岩体的 K-Ar年龄为44

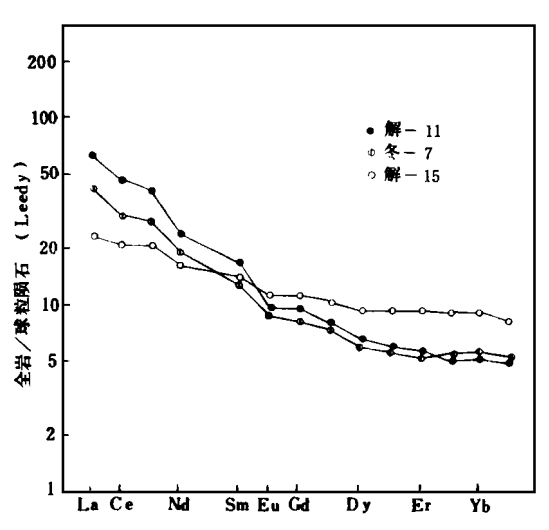


图 2 冬普英云闪长岩岩体稀土配分模式注: 解-11、解-15 为英云闪长岩; 冬-7 为石英闪长岩

Ma。主要矿物有斜长石($45\% \sim 60\%$)、石英($30\% \sim 35\%$)、微斜长石(5%)、黑云母($5\% \sim 10\%$)、白云母(<2%)等。岩石具似斑状结构, 斑晶为斜长石, 少数斜长石具环带构造; 基质以更长石为主($An=23\sim 25$)。石英裂纹发育, 具波状消光, 有塑变拉伸的晶体。黑云母由于溶蚀而呈破布状(原生黑云母),少数已绿泥石化。微斜长石以他形充填于其它矿物粒间。副矿物磷灰石较多, 为细小短柱或粒状, 常被包于黑云母中。此外, 还有褐帘石、榍石、磁铁矿、锆石等。

沙马斜长花岗岩体的稀土元素含量甚低, $\Sigma_{\rm REE}$ 仅 28. 56 × 10^{-6} ,这在藏东地区各类岩体中,稀土总量是最低的一个;另外,其 $\delta_{\rm Eu}$ 为正铕异常(1.16)。显示沙马岩体具鲜明的幔源特征。沙马岩体的稀土配分模式为较平缓而略有倾斜(图 3)。

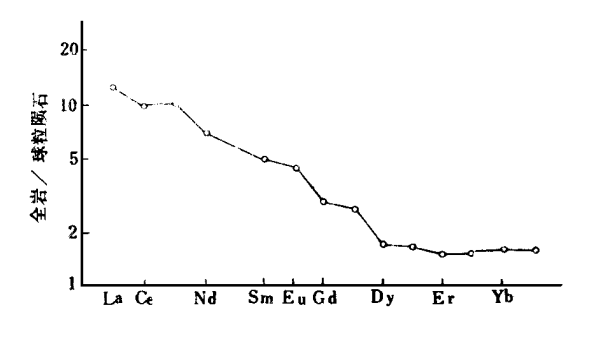


图 3 沙马花岗岩体稀土元素配分模式

3 玉龙—芒康斑岩带斑岩体的 成因

玉龙斑岩铜矿带是全球性'阿尔卑斯—喜马拉雅'斑岩成矿带的组成部分之一,位于特提斯—喜马拉雅构造域的东南缘转折处,大致沿金沙江—哀牢山古缝合带及江达—绿春印支陆缘火山弧展布。

含矿斑岩体沿青海南部及藏东纳日贡

玛—玉龙—多霞松多—马厂箐—金平铜厂一线分布。岩体多为小岩株,呈筒状、蘑菇状、透镜状产出。岩体规模小,仅 1 km^2 左右。岩石类型主要为黑云二长花岗斑岩,花岗闪长斑岩、石英二长斑岩、石英正长岩次之。斑岩体的同位素年龄为 $25 \sim 55 \text{ M}$ a,皆为喜马拉雅早期侵位形成,属始新世产物 11 。

该斑岩岩体的 δ^{18} O 为 7. 1‰~10. 0‰, (87 Sr) 18 为 0. 7061~0. 7076, $\epsilon_{Nd}(T)$ 为 $^{-}$ 2. 9~1. 9, 结合岩石化学、稀土等综合特征,可判定斑岩体属壳幔同熔($^{-}$) 型花岗岩。在 δ^{18} O $^{-}$ (87 Sr/ 86 Sr) 14 并且以下,其投影点复落在玄武岩区内,反映了斑岩的源岩来自地幔。在 $\epsilon_{Nd}(T)$ 一 $\epsilon_{Nd}(T)$ 图解上,各斑岩体投点均落在 I 型花岗岩区内。据 $\epsilon_{Nr}(T)$ 一 $\epsilon_{Nd}(T)$ 的定量模拟计算,其源岩组分由 80% 左右的幔源物质与 20% 左右的壳源物质组成,经同熔混染作用而形成了斑岩体。

由玉龙和多霞松多岩体采集到的两个样品,获得玉龙斑岩带诸岩体的 Sm-Nd 模式年龄在 $200\sim240~Ma$ 之间,显示了斑岩的原始岩浆从 CHUR 地幔中形成起到现在所经历的时间,应属晚三叠世的产物,即斑岩的玄武质母岩浆于印支晚期滞留于江达—绿春陆缘火山弧之下。时值甘孜—理塘缝合带由东向西俯冲,其上在昌台—稻城岛弧台缘形成了中甸雪鸡坪斑岩铜矿床,其含矿斑岩的 Rb-Sr 全岩等时年龄为 $225\sim237~Ma$,与晚三叠世火山岩呈同源异相,它们均为印支板块俯冲作用的产物。

始新世由于雅鲁藏布江俯冲碰撞带的远距离效应, 使该区产生陆内汇聚作用, 金沙江—哀牢山古缝合带复活, 成为始新世超壳巨型走滑拉张断裂带, 从而导致喜马拉雅早期壳幔同熔(I)型斑岩体的侵位, 形成了著名的玉龙斑岩铜矿带。

4 对前人称的'察隅混合岩"的新认识

察隅'眼球片麻状花岗岩'即前人称的'察隅混合岩",位于雅鲁藏布江俯冲碰撞带北面、冈底斯岩浆弧东部的转折处。本区在燕山晚期—喜马拉雅期岩浆活动十分频繁,发育有一系列叠瓦式逆冲推覆、走滑、韧性剪切断裂。 岩体呈条带状复式岩基产出,夹持于嘉黎—独龙江、易贡—下察隅逆冲推覆、走滑、韧性剪切带间。 走向 310~320°,东南端延入境外。 东侧侵位于石碳系—二叠系砂、板岩中; 西侧在此坝与二云母花岗岩呈断层接触。 岩体以眼球片麻状花岗岩为特征。 岩石变形程度自岩体西侧巴嘎韧性剪切带向东逐渐减弱。 岩石类型由条纹状花岗质糜棱岩 眼球片麻状花岗糜棱岩 糜棱岩化斑状黑云母花岗岩呈渐变过渡。 由察隅岩体采集到样品 6个,测得岩体的 Rb-Sr 全岩等时线年龄为 111 Ma, 锆石 U-Pb 年龄为 87 Ma, 成岩时代应属燕山晚期。

岩石化学特征为富硅、富碱、铝不饱和。稀土总量较高, Σ REE 为 203. 12 × 10⁻⁶ ~ 457. 93 × 10⁻⁶, (La/Yb) N= 6.6 ~ 15.5, δ Eu= 0.26 ~ 0,44, 具强负铕异常,稀土配分模式为左高右低向右倾斜的海鸥型,显示其岩浆结晶分异过程中,具有一定的分馏作用。(87 Sr/ 86 Sr) := 0.7185, (143 N d/ 144 N d) = 0.512187; ϵ _{Nd}($_T$) = -7.7986。其特征属壳源重熔(S)型花岗岩 $^{[3,4]}$ 。

斑状黑云母花岗岩成岩后,由于构造抬升而发生逆冲推覆韧性剪切作用,使岩体变形,从 而产生不同程度的糜棱岩化花岗岩和花岗质糜棱岩^[3,4]。

眼球状花岗质糜棱岩的片麻理十分明显, 叶理走向 $310 \sim 320$ °,倾角 $67 \sim 80$ °,倾向南西, 与断裂带走向基本一致。岩石中 S-C 组构极为发育。一系列不对称的变形显微构造屡见不鲜。长石斑晶成为眼球状构造(多为 δ 型碎斑系),重结晶拖尾构造发展,并见有多米诺骨牌构造、核幔构造等 σ 石英塑性变形呈条带状(横裂纹发育)-拔丝构造。黑云母变形成云母鱼或膝折;石英的波状消光、变形纹亦常见。在巴嘎剪切断裂带附近,随剪切应变量的增大,岩体中布丁构造相应增多,而条纹状花岗质糜棱岩则有拉伸线理的出现。根据 S-C 组构, SS-SC 夹角一般为

20~30°显示该断裂带为左行走滑。

岩石经韧性剪切变形,长石、石英眼球体普遍含细小的液体包裹体、气液包裹体及 CO_2 包裹体,多呈条状或雁行状定向排列。长石中液体包裹体的均一温度为 $310\sim350$,石英中液体包裹体的均一温度为 $200\sim285$,故变形温度为 (300 ± 15) 。按正常地热增温率 3~/100 m 推算,应变深度应在地壳 10~km 左右,韧性剪切带发生在较深的半塑性域。

眼球片麻状花岗岩中的黑云母系剪切作用重结晶而成。黑云母的 K-Ar 年龄为 17~20 Ma. 形成于中新世. 因而大规模的逆冲推覆-走滑韧性剪切断裂属喜马拉雅中期的产物。

参考文献

- 1 芮宗瑶等,中国斑岩铜矿,北京:地质出版社,1984.
- 2 沈渭洲.稳定同位素地质.北京:原子能出版社,1987
- 3 钟增球,对糜棱岩的一些新认识,地质科技情报,1985.(1)
- 4 曹熹, 刘正宏. 糜棱岩形成机制显微构造证据. 长春地质学院学报, 1988, 18(2)